

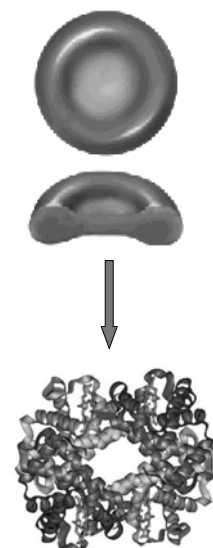


Interferenza da varianti emoglobiniche nella misura dell'HbA_{1c}

Freddi Cristina
Laboratorio Analisi Chimico Cliniche
Azienda Ospedaliera Ospedali Riuniti di Bergamo
9 Maggio 2009 - Desenzano del Garda

E m o g l o b i n a (Hb)

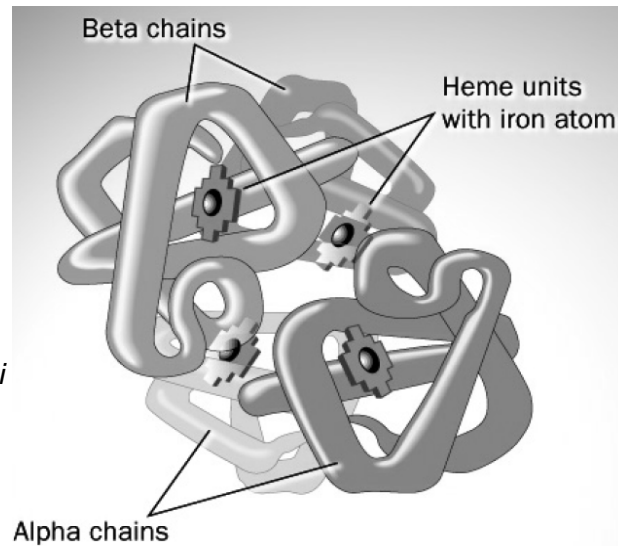
- Proteina del sangue contenuta negli eritrociti
- Concentrazione di Hb nel sangue
 - 13-18 g/dL nell'uomo
 - 12-16 g/dL nella donna
- Quantità di eritrociti:
 - 4.6-6.2M / μ L nell'uomo
 - 4.2-5.4M / μ L nella donna



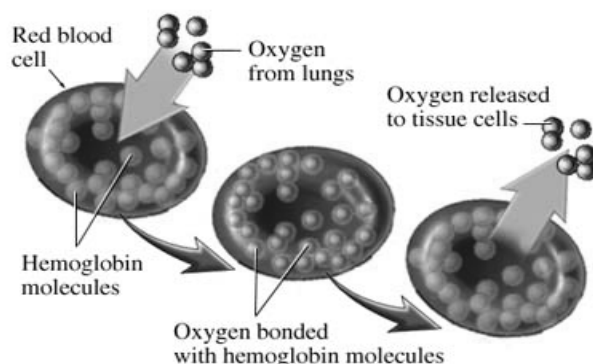
Struttura dell'emoglobina (HbA)

E' un etero-tetramero
composto da:
2 subunità Alfa
2 subunità Beta
GLOBINE $\alpha_2\beta_2$

Ogni subunità è
coniugata ad un gruppo
eme, un composto in cui
è presente un atomo di
ferro, il quale lega
l'ossigeno e la CO₂



Funzioni



Hb : Varianti fisiologiche

Emoglobine embrionali
 geni Alfa, Zeta, Epsilon e Gamma presenti
 $\text{Gower 1 } (\zeta_2 \varepsilon_2)$
 $\text{Gower 2 } (\alpha_2 \varepsilon_2)$
 $\text{Portland } (\zeta_2 \gamma_2)$

Emoglobina fetale (Hb F)
 geni Alfa e Gamma presenti
 $\text{HbF } (\alpha_2 \gamma_2)$

Emoglobine adulte (HbA)
 geni Alfa, Beta e Delta presenti
 $\text{HbA } (\alpha_2 \beta_2, > 95\%)$
 $\text{HbA}_2 \text{ } (\alpha_2 \delta_2, < 3\%)$

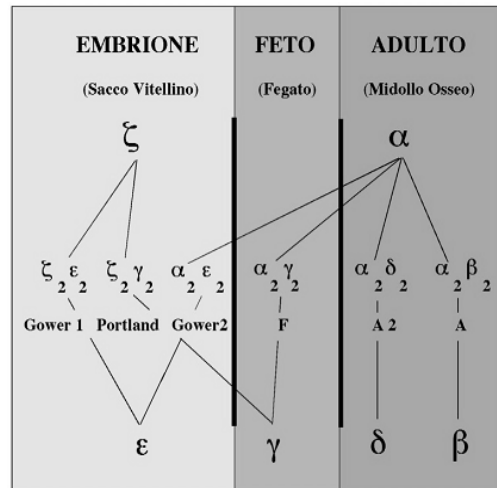


Fig.2. Composizione delle emoglobine (Gower 1, Gower 2, Portland, F, A, A2) prodotte nell'uomo dall'embrione, dal feto e dall'adulto.
 Tra parentesi sono indicati i siti di eritropoiesi.

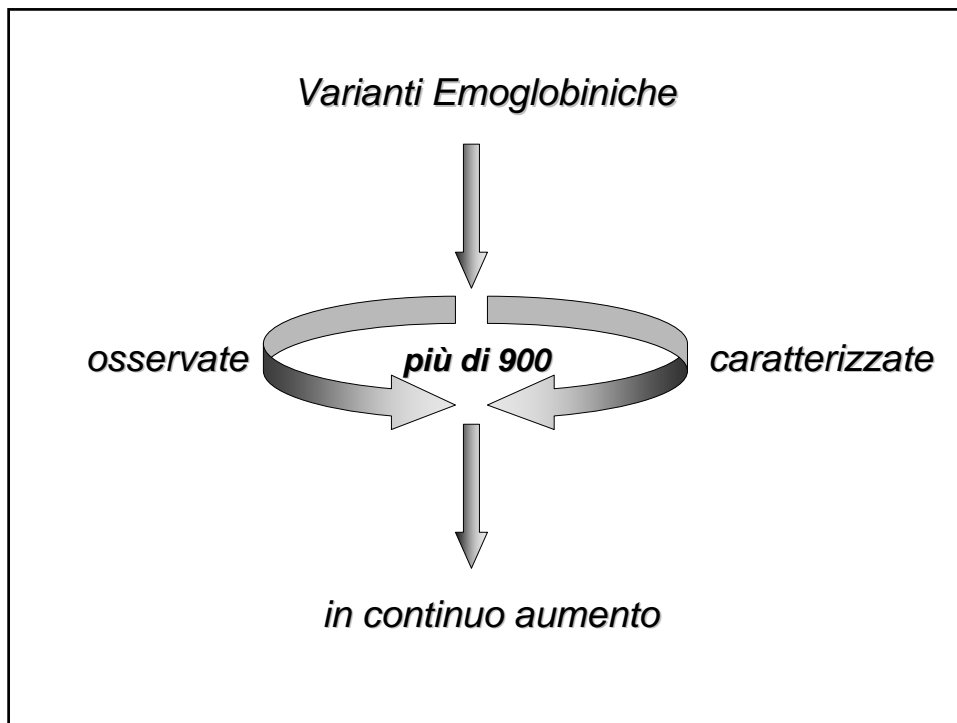


Emoglobinopatie

Patologie determinate da disordini ereditari dell'emoglobina

Talassemie

Emoglobine varianti
 $(\text{HbS, HbC, HbE, Hb Lepore...})$



Normal beta chain

ATG GTG CAC CTG ACT CCT GAG GAG AAG TCT GCC GTT ACT GCC CTG TGG GGC AAC GTG AAC GTG GAT GAA GTT GGT GGT GAG GCG CTG GGC
Val His Leu Thr Pro Glu Glu Lys Ser Ala Val Thr Ala Leu Thr Gly Lys Val Asn Val Asp Glu Val Gly Gly Glu Ala Leu Gly

HbS Sickle cell (missense)

ATG GTG CAC CTG ACT CCT GTG GAG AAG TCT GCC GTT ACT GCC CTG TGG GCC AAC GTG AAC GTG GAT GAA GTT GGT GGT GAG GCC CTG GCC
Val His Leu Thr Pro Val Glu Lys Ser Ala Val Thr Ala Leu Trp Gly Lys Val Asn Val Asp Glu Val Gly Gly Glu Ala Leu Gly

HbC (missense)

ATG GTG CAC CTG ACT CCT AAC GAG AAG TGT GCC ACT GCC CTG TGG GGC AAC GTG AAC GTG GAT GAA GTT GGT GGT GAG GCC CTG GGC
 Val His Leu Thr Pro Lys Glu Lys Ser Ala Val Thr Ala Leu Trp Gly Lys Val Asn Val Asp Glu Val Gly Gly Glu Ala Leu Gly

Hb Thalassemia (nonsense)

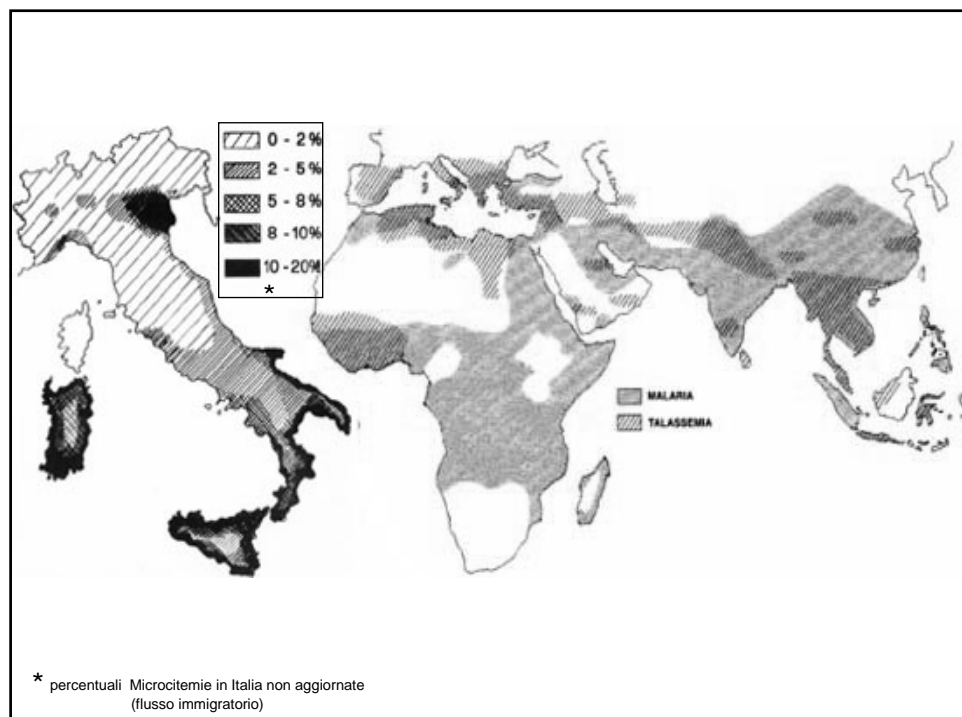
ATG GTG CAC CTG ACT CCT GAG GAG AAG TCT GCC GTT ACT GCG CTG TGG GGC TAG GTG AAC GTG CAT GAA GTT GGT GGT GAG GCG CTG GGC
Val His Leu Thr Pro Glu Glu Lys Ser Ala Val Thr Ala Leu Trp Gly Stop

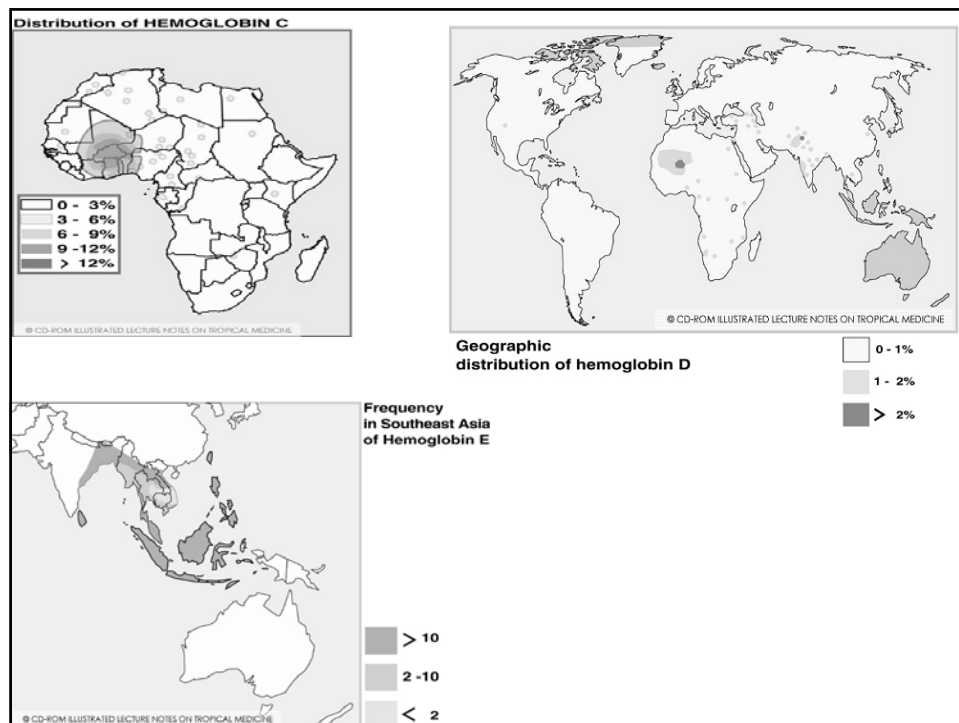
Hb Thalassemia (frameshift)-AA

ATG GTG CAC CTG ACT CCT GAG GAG GTC TGC CGT TAC TGC CCT GTG GGG CAA GGT GAA CGT GGA TGA AGT TGG TGG TGA GGC CCT GGC C
Val His Leu Thr Pro Glu Glu Val Cys Arg Tyr Cys Pro Val Gly Glu Gly Glu Arg Ala Stop

Le maggiori varianti emoglobiniche

- Hb S** *Bacino Mediterraneo
Africa (regioni orientali 40%)
Arabia
India*
- Hb C** *Africa (regioni occidentali 20%)*
- Hb D** *India Nord-Ovest*
- Hb E** *Sud-Est Asiatico (15-30%)*





Esistono variazioni post-traduzionali determinate da

legami con altri composti chimici presenti

nel globulo rosso dovuti processi di

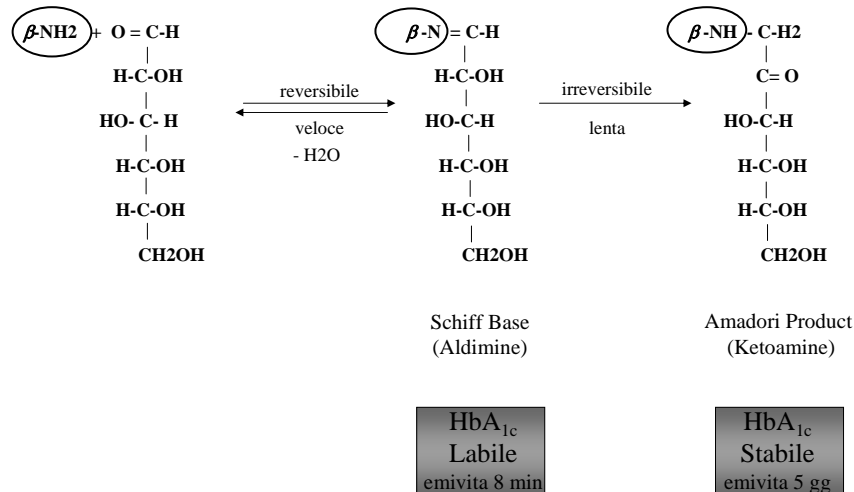
Carbamilazione

Acetilazione

Glicazione

Reazione di glicazione non enzimatica

gruppo aldeidico del glucosio + il gruppo amminico N-terminale delle catene β dell' Hb



Emoglobine: cenni storici

Soggetto normale adulto			
<i>HbA ($\alpha_2\beta_2$) circa 95%</i>	<i>HbA2 ($\alpha_2\delta_2$) fra 2 e 3.5%</i>	<i>HbF ($\alpha_2\gamma_2$) meno del 2%</i>	
1955 Elettroforesi su amido	Resina a scambio cationico eluizione da colonnine di IRC-50	Anno '68 circa	Anni '80 Bunn et al.
Frazioni emoglobiniche "minori" Modifiche post-traduzionali	$A_{1a} A_{1b} A_{1c} A_{1d} A_{1e}$	A_{1c} aumenta in soggetti affetti da <u>diabete mellito</u>	circa 60% del glucosio lega le valine N-terminali delle catene β dell'HbA _{1c}

Sistemi di misura dell' HbA_{1c}

Differenza di carica elettrica

- separazione tra HbA_{1c} e HbA

{ HPLC
minicolonnine
isoelettrofocalizzazione
elettroforesi

Immunochimici

- dosaggio senza separazione dall' emoglobina non-glicata
- non interferenze biochimiche dovute a varianti emoglobiniche
- possibili interferenze biologiche dovute al rapido turnover dell'emoglobina (vita media degli eritrociti)

Cromatografia di affinità

- valuta la presenza di glucosio legato covalentemente all'emoglobina

Cromatografia

Tecnica di separazione basata sulle proprietà chimico-fisiche dei composti

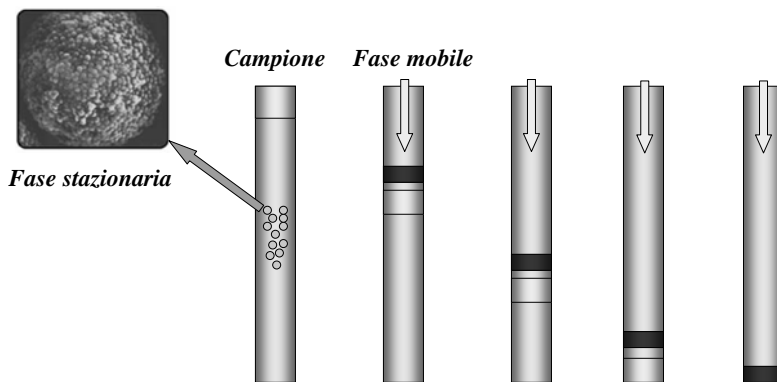
Elevata pressione → maggiore velocità di flusso dell' eluente

Fase Stazionaria	- Silice microporosa (diametro 3-10 um) - Allumina - Resina a scambio ionico immiscibile posta in una colonna (vetro, acciaio, titanio) o su una superficie solida
Fase Mobile	- Gas - Liquido o fluido supercritico - Tamponi a diverso pH e forza ionica

High Performance Liquid Chromatography

High Performance Liquid Chromatography (HPLC) can help identify the types and quantities of haemoglobin made by an individual

HPLC also allows you to detect structurally abnormal haemoglobins



Traguardi analitici per l'HbA_{1c}

Precisione, Accuratezza, Variabilità Biologica

$$CV_b = \text{circa } 1\%$$

$$CV_w = 3,9 - 7,9 \% = \text{circa } 5 \% \longrightarrow ET_a = 6,2 \%$$

$$CV_a = 2,5 \%$$

ET_a	errore totale ammissibile
CV_a	coefficiente di variazione analitico (limite di imprecisione)
CV_b	coefficiente di variazione intra-individuale
CV_w	coefficiente di variazione inter-individuale

Ricos et al. [Scand J Clin Lab Invest 1999]

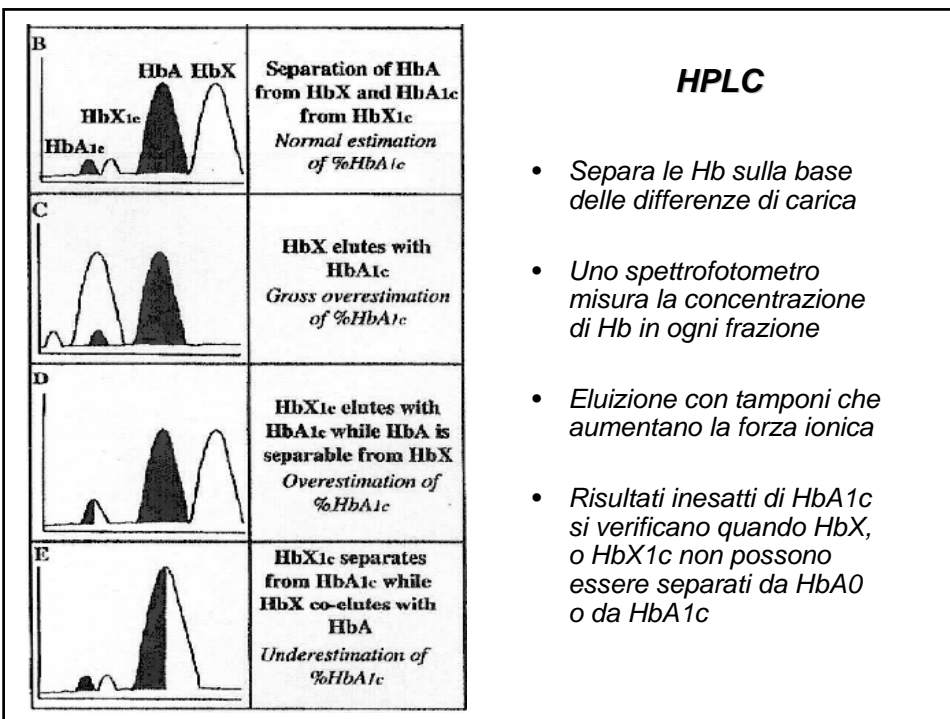
2007 GH2-A (fresh pooled samples)
* = NGSP certified at the time of the survey

NGSP Reference Value ⁱ	GH2-01		GH2-02		GH2-03		
	no. labs	Median	%CV	Median	%CV	Median	%CV
Methods reporting HbA_{1c} (or equivalent)							
* Abbott Architect	47	5.0	5.0	11.2	3.9	7.4	4.1
* Bayer Advia	33	5.5	4.2	11.3	4.9	7.7	5.2
* Bayer DCA 2000	227	5.2	2.9	11.5	4.8	7.4	2.7
* Beckman Synchron System	385	5.3	4.6	11.7	5.4	7.3	4.6
* Bio-Rad D-10	169	5.5	2.7	12.6	2.3	8.1	2.5
* Bio-Rad Diastat	11	5.2	3.5	11.8	4.4	7.3	3.7
* Bio-Rad Variant A1c	17	5.2	2.6	11.5	2.2	7.5	3.7
* Bio-Rad Variant II A1c	253	5.4	3.4	12.3	2.5	7.9	2.6
* Bio-Rad Variant II Turbo A1c	95	5.4	2.7	12.0	2.6	7.8	2.3
* Dade Behring Dimension	593	5.8	3.1	11.3	3.5	7.6	2.8
* Metrika A1cNOW	23	5.3	6.1	11.7	6.3	7.4	7.7
* Olympus AU system	30	5.6	6.2	12.2	6.1	8.2	5.5
* Pointe Scientific	5	5.0	-	11.0	-	7.5	-
* Primus HPLC (affinity)	36	5.3	2.7	11.7	2.5	7.6	2.3
* Roche cobas c501	6	5.8	-	11.4	-	7.5	-
* Roche Cobas Integra	239	5.5	3.4	11.8	3.7	7.7	3.6
* Roche Cobas Integra Gen.2	72	5.5	3.3	11.7	2.8	7.5	2.3
* Roche/Hitachi (Tina Quant II)	63	5.5	5.2	11.8	4.2	7.5	3.5
* Tosoh A1c 2.2 Plus	186	5.4	3.5	12.4	2.7	8.0	2.9
* Tosoh G7 Auto HPLC	261	5.4	2.4	12.3	1.8	7.9	2.0
* Vitros 5.1 FS Chem Syst	66	5.7	3.6	12.3	4.4	7.7	4.0
Methods reporting Total GHB							
Bio-Rad Variant	10	5.4	6.5	14.1	4.2	8.8	3.9
Primus	15	6.2	4.3	17.1	2.3	10.0	2.9

College of American Pathologists (CAP) Survey Data:
(updated 5/07)

Principali interferenti nella misura della HbA_{1c}

• <i>Emoglobulinopatie</i>	<i>Interferenza analitica o biologica</i>
• <i>Frazione labile</i>	<i>Falsi positivi. No per metodi cromatografici ed immunochimici</i>
• <i>Insufficienza renale</i>	<i>Hb carbamilata</i>
• <i>Invecchiamento del campione</i>	<i>Interferenza positiva</i>
• <i>Ipertrigliceridemia</i>	<i>Interferenza positiva per metodi immunoturbidimetrici</i>
• <i>Variabilità stagionale</i>	<i>Discreto effetto ciclico</i>
• <i>Processi emolitici</i>	<i>falsi negativi (diminuzione vita media eritrocitaria)</i>
• <i>Aumento WBC</i>	<i>Interferenze positive</i>



Clinical Chemistry 54:8
000–000 (2008)

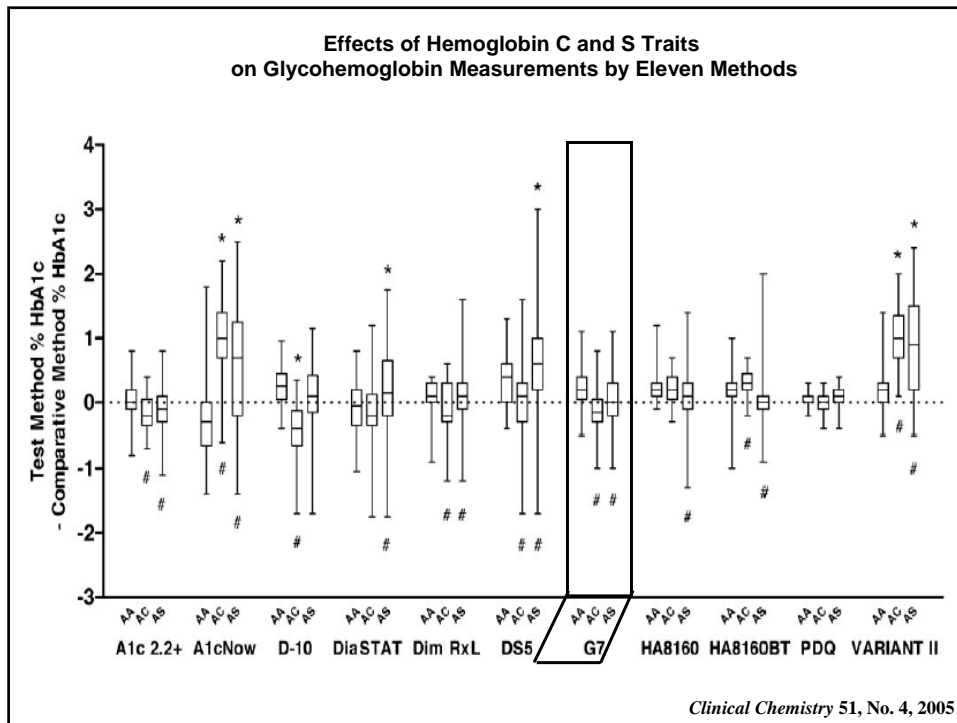
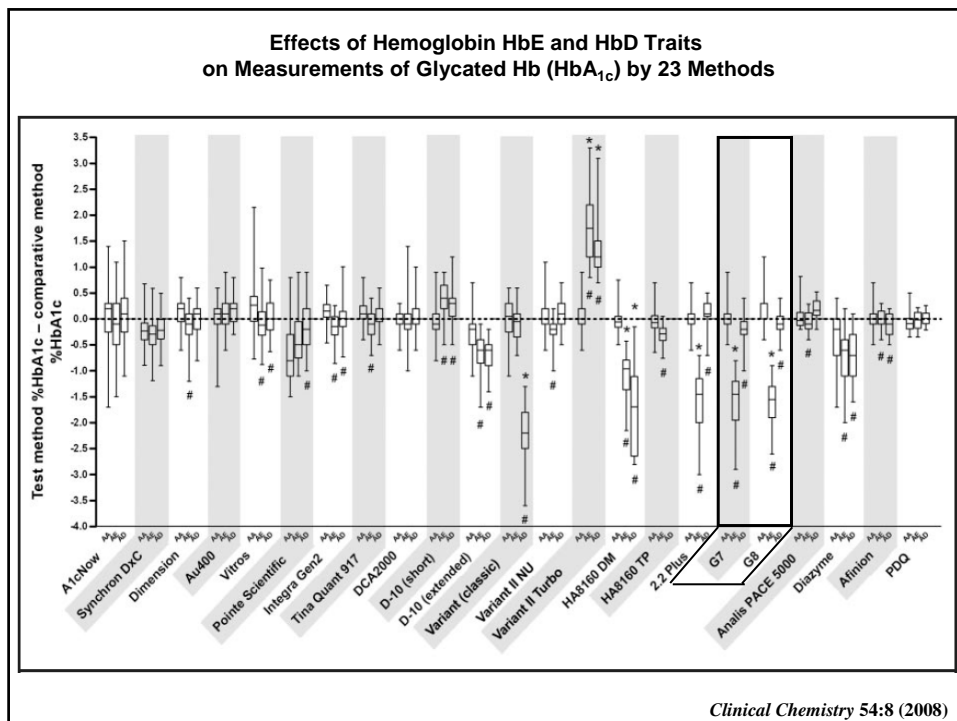
Endocrinology and Metabolism

Effects of Hemoglobin (Hb) E and HbD Traits on Measurements of Glycated Hb (HbA_{1c}) by 23 Methods

Randie R. Little,^{1*} Curt L. Rohlfing,¹ Steve Hanson,¹ Shawn Connolly,¹ Trefor Higgins,² Cas W. Weykamp,³ Mario D'Costa,⁴ Veronica Luzzi,⁵ William E. Owen,⁶ and William L. Roberts⁷

Effects of Hemoglobin C and S Traits on Glycohemo-globin Measurements by Eleven Methods, William L. Roberts,^{1*} Sekineh Safar-Pour,² Barun K. De,³ Curt L. Rohlf-ing,⁴ Cas W. Weykamp,⁵ and Randie R. Little⁴ (¹ Department of Pathology, ARUP Institute for Clinical & Experimental Pathology, University of Utah, Salt Lake City, UT; ² ARUP Laboratories, Salt Lake City, UT; ³ Department of Pathol-ogy, University of Arizona, Tucson, AZ; ⁴ Departments of Pathology & Anatomical Sciences and Child Health, Uni-versity of Missouri-Columbia School of Medicine, Colum-bia, MO; ⁵ Queen Beatrix Hospital, Winterswijk, The Neth-erlands; * address correspondence to this author at: ARUP

Clinical Chemistry 51, No. 4, 2005



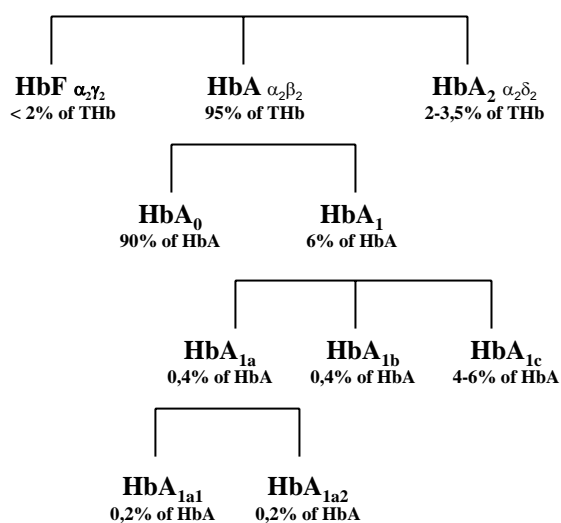
Calculation of HbA_{1c}

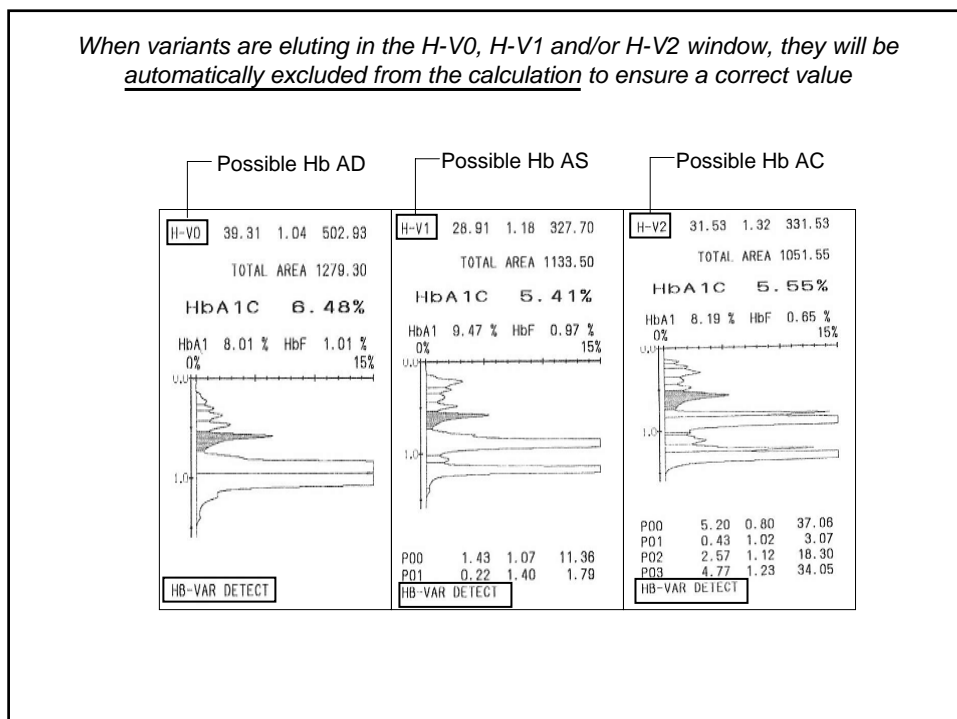
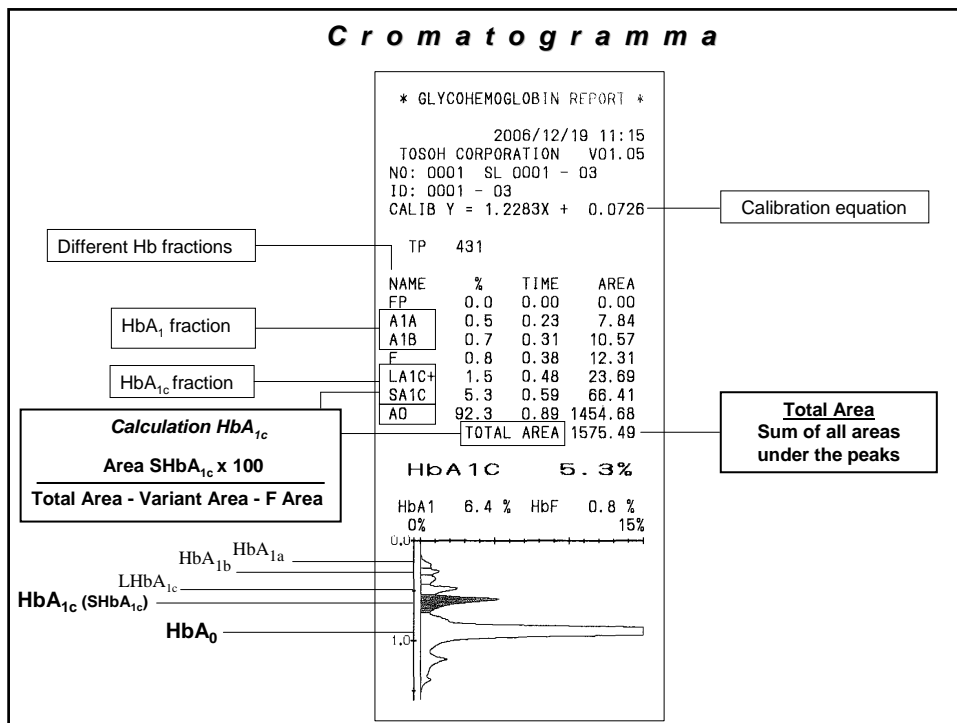
What is
Hemoglobin?

What is
HbA_{1c}?

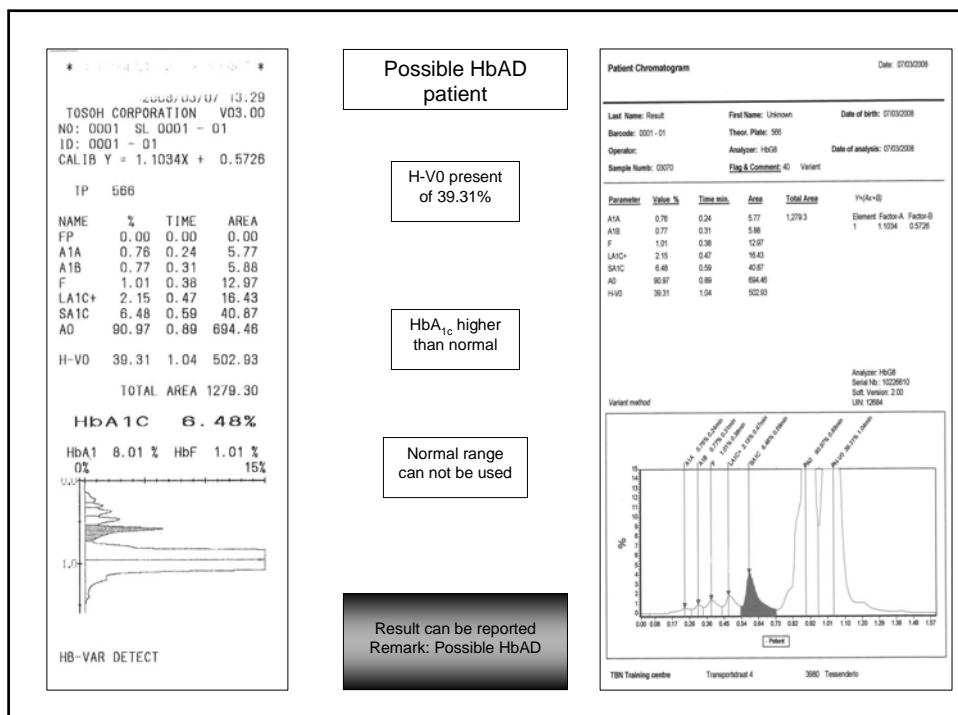
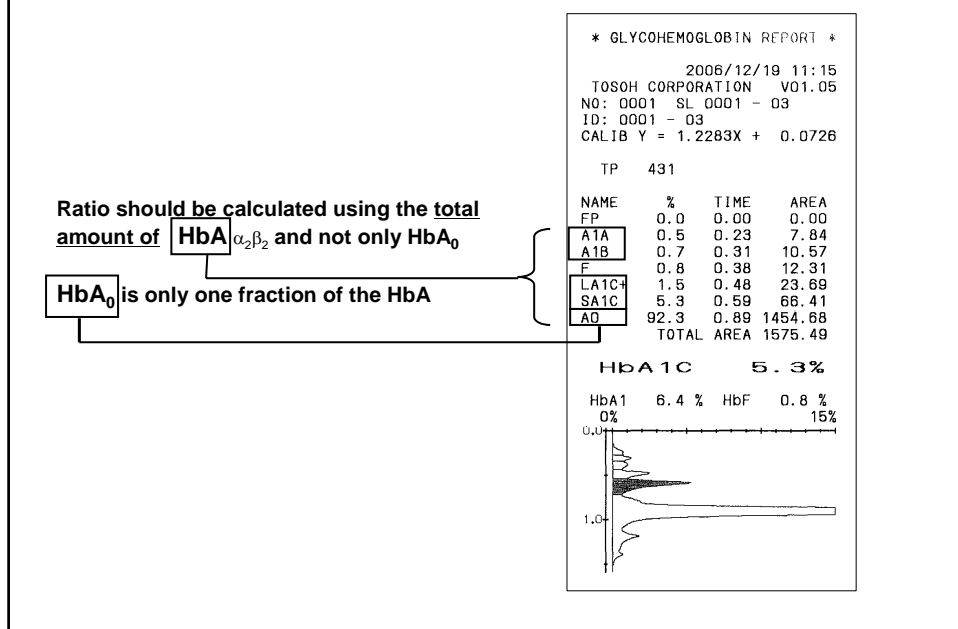
How is HbA_{1c} calculated?

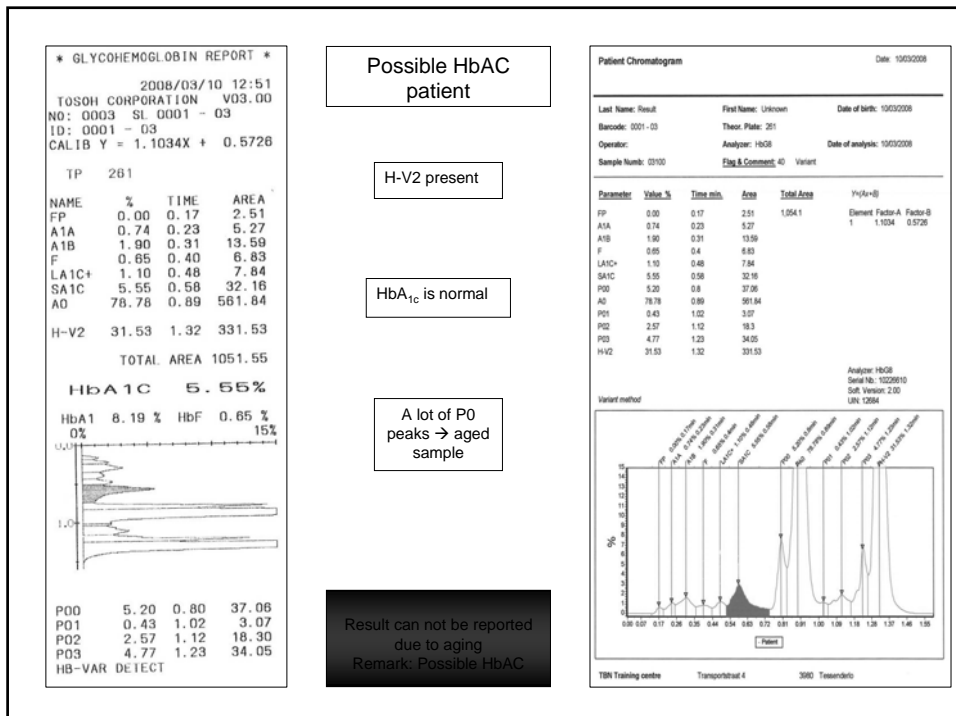
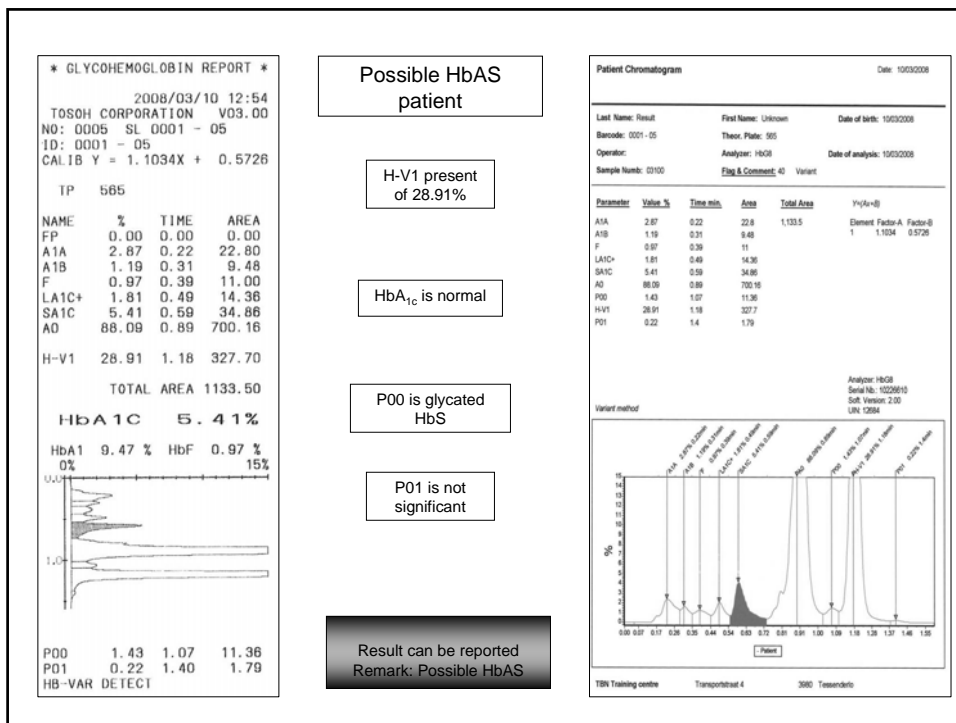
Total Haemoglobin (THb)

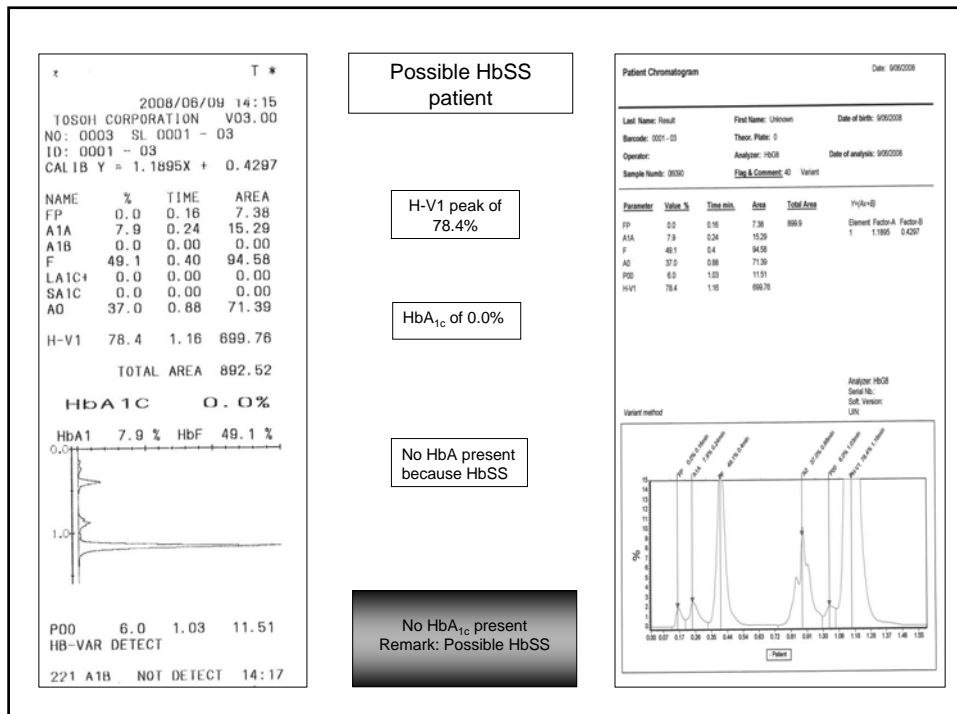
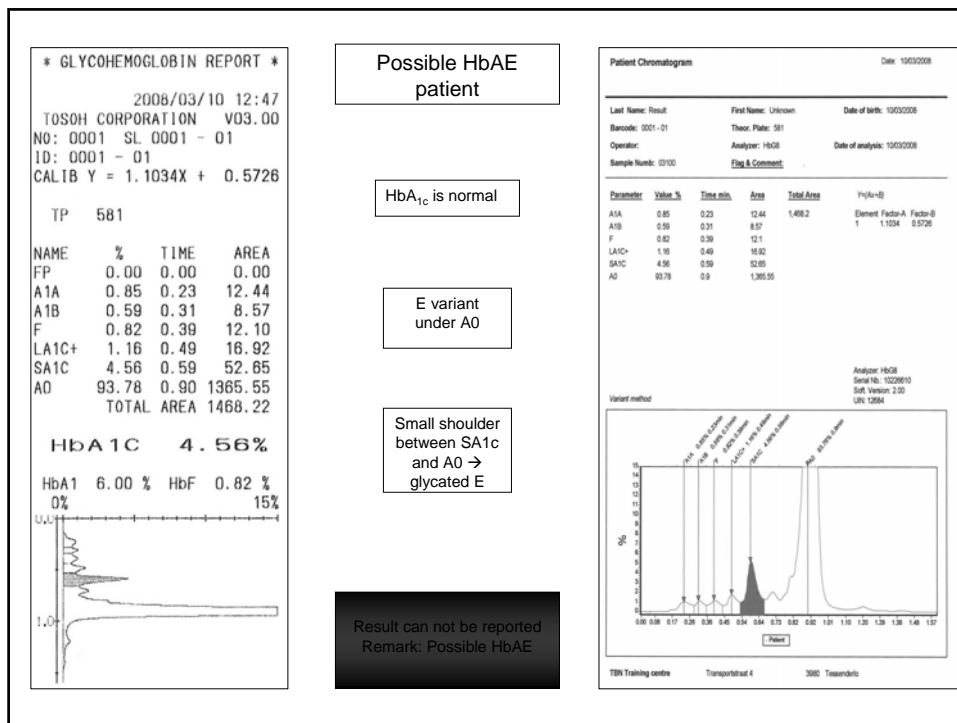


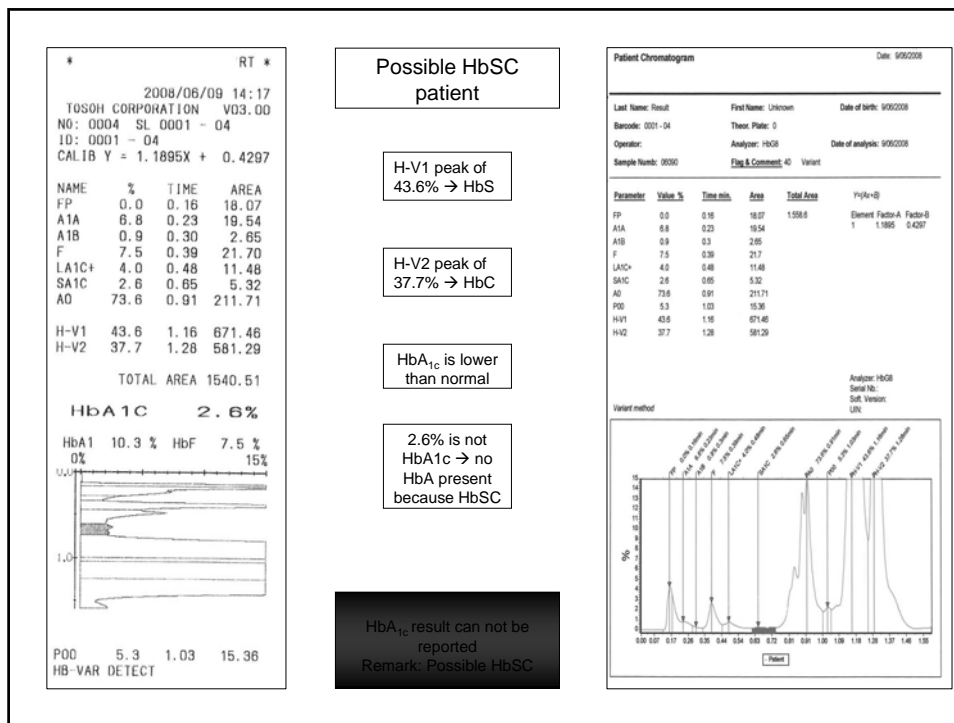


Why on Total Area and not on area of HbA_0 ?









ZIENDA OSPEDALIERA OSPEDALI RI UNITI DI BERGAMO

Confronto fra due metodi HPLC nella rilevazione dell'HbA_{1c} in campioni con e senza varianti emoglobiniche

Freddi C.* , Amboni P.* , Nani C.* , Maestroni C.* , Calufetti L.* , DeMarinis R.° , Ottomano C.*

* Dipartimento di Medicina di Laboratorio, Laboratorio Analisi Chimico Cliniche, A.O. Ospedali Riuniti di Bergamo, Italy

• Tosoh Bioscience, S.r.l., Torino, Italy

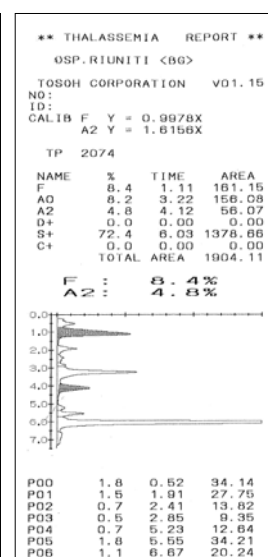
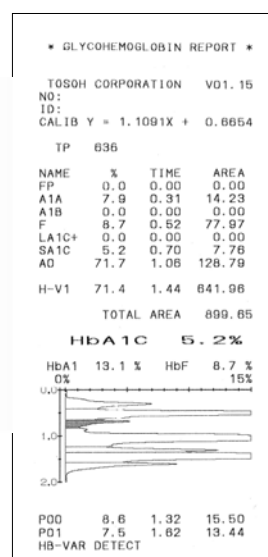
biochimica clinica, 2008, vol. 32, n. 5



Numero campioni processati : 287

- ✓ Campioni rilevanti picchi anomali con richiesta dosaggio HbA_{1c}
- ✓ Campioni con probabili varianti con richiesta dosaggio Hb Patologiche
- ✓ Dati emocromo
- ✓ Sangue intero (K₃EDTA / Litio Eparina)
- ✓ Processati in tempo reale
- ✓ Conservati a 2-8 °C se analizzati entro 7 giorni
- ✓ Congelati e scongelati se analizzati oltre tale limite di tempo

Tosoh H723G7BetaThal Mode Tosoh HLC-723G7HbA1c Variant Mode



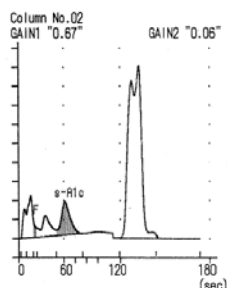
Menarini Adams A1c HA-8160



***** HA-8160 V7.35 *****
22-02-2009 14:35 PORT No.0002
MEAS No.
ID

HbA1c 5.8 % HbF 0.3 %
HbAT 7.9 %

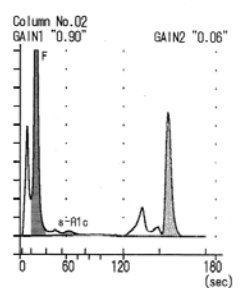
	Sec	Area	%
P1	8	332	0.9
P2	16	751	1.9
P3 F	20	101	0.3
P4 L-A1c	36	734	1.9
P5 s-A1c	62	1989	5.1
P6 AO	133	35040	90.0
Total		38947	



***** HA-8160 V7.35 *****
PORT No.
MEAS No.
ID

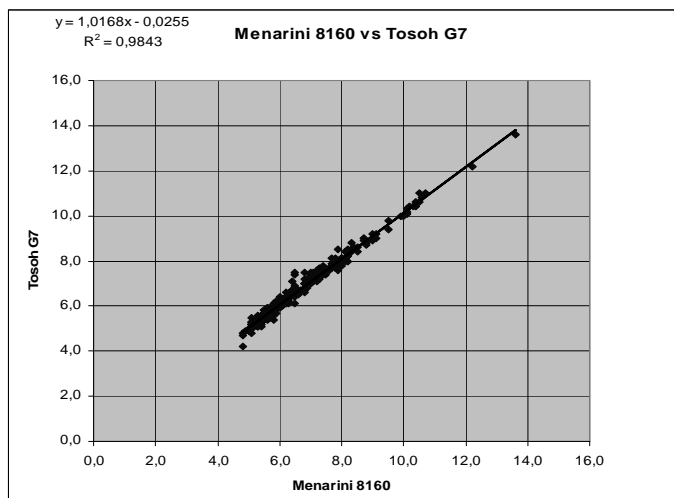
HbA1c 4.8 % HbF 11.3 %
HbAT --- %

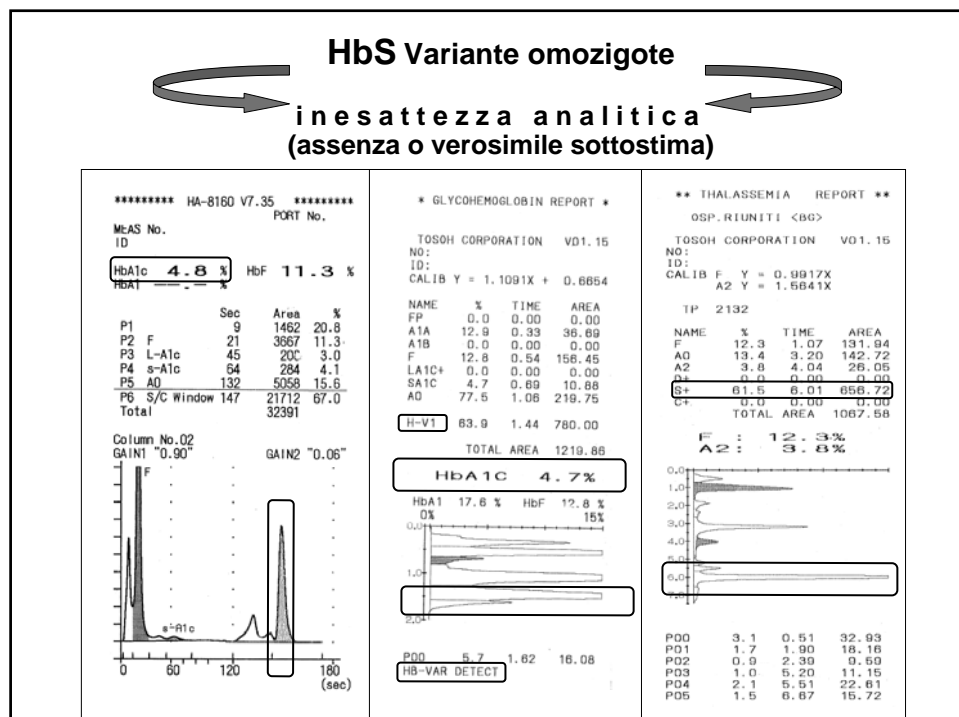
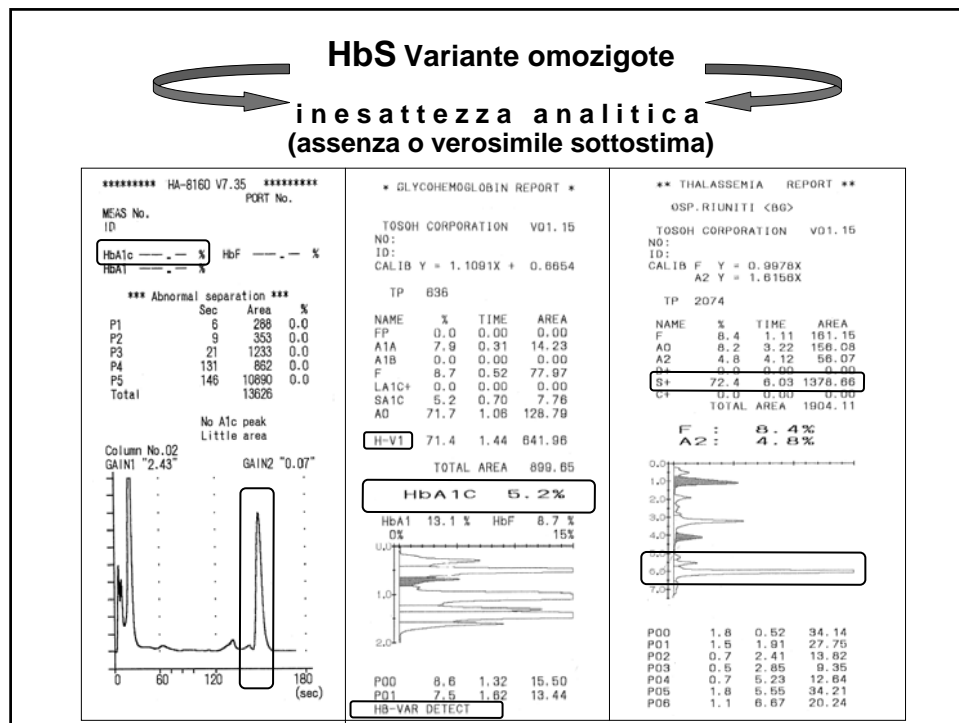
	Sec	Area	%
P1	9	1462	20.8
P2 F	21	3667	11.3
P3 L-A1c	45	20C	3.0
P4 s-A1c	64	284	4.1
P5 AO	132	5058	15.6
P6 S/C Window	147	21712	67.0
Total		32391	



Menarini Adams A1c HA-8160 Tosoh HLC-723G7HbA1c Variant Mode

*I due sistemi, su campioni normali (269), presentano una buona correlazione
($R^2 = 0.9843$)*





HbS Variante eterozigote

Sovrapponibili

